

温度对 X70 钢在高 pH 值溶液中腐蚀行为的影响

王冠夫¹ 陈旭¹ 赵阳² 韩健¹ 王彦亮¹

1. 辽宁石油化工大学石油天然气工程学院 抚顺 113000;

2. 辽宁石油化工大学机械工程学院 抚顺 113000

摘要:采用动电位极化、电化学阻抗谱技术、Mott-Schottky 等测试方法,研究了温度对 X70 钢在高 pH 值溶液 (0.5 mol/L Na₂CO₃+0.5 mol/L NaHCO₃) 中钝化膜性能和电化学腐蚀行为的影响。结果表明:随着温度升高, X70 管线钢的点蚀电位降低,维钝电流密度和钝化膜的极化电阻减小。在实验温度范围内,钝化膜为 Fe₂O₃ 和 Fe₃O₄ 的混合物,半导体类型为 n 型半导体,且不随温度升高而改变。但是随着温度的升高,钝化膜缺陷密度增加,膜厚度减小,腐蚀倾向增大。因此,温度升高会降低钝化膜的稳定性,导致其保护作用下降。

关键词:X70 管线钢 高 pH 值 钝化膜 温度 缺陷密度

中图分类号: TG172 文献标识码: A 文章编号: 1002-6495(2015)03-0226-05

Effect of Temperature on Electrochemical Corrosion Behavior of X70 Pipeline Steel in High pH Solution

WANG Guanfu¹, CHEN Xu¹, ZHAO Yang², HAN Jian¹, WANG Yanliang¹

1. College of Petroleum Engineering, Liaoning Shihua University, Fushun 113000, China;

2. School of Mechanical Engineering, Liaoning Shihua University, Fushun 113000, China

Abstract: Effect of temperature on corrosion behavior of X70 pipeline steel in high pH solution (0.5 mol/L Na₂CO₃+0.5 mol/L NaHCO₃) was studied by means of potentiodynamic polarization, electrochemical impedance spectroscopy and Mott-Schottky measurements. Results showed that the pitting potential, passive current density and the polarization resistance of X70 pipeline steel all decreased with the increase of temperature. In the experimental temperature range, the formed passive film consisted mainly of Fe₂O₃ and Fe₃O₄ with features of n-type semiconductor. With the rising temperature, the thickness and donor density of the passive film increased, correspondingly, corrosion tendency of the steel increased. Therefore, the stability of the passive film decreased with the increasing temperature, which weakened the corrosion resistance of the X70 steel.

Key words: X70 pipeline steel, high pH value, passive film, temperature, defect density

1 前言

X70 钢是一种低合金、高强度的钢,由于它强度高,韧性好,成为了目前我国“西气东输”管道的主要用钢^[1]。现场研究表明,管线钢土壤应力腐蚀破

定稿日期: 2014-10-17

基金项目: 国家自然科学基金项目 (51201009) 和辽宁省自然科学基金项目 (2013020078) 资助

作者简介: 王冠夫, 1988 年生, 男, 硕士生

通讯作者: 陈旭, E-mail: cx0402@sina.com, 研究方向为金属材料的腐蚀与防护

DOI: 10.11903/1002.6495.2014.311

裂 (SCC) 分为高 pH SCC 和近中性 pH SCC 两类^[2]。前者发生在高浓度的 CO₃²⁻-HCO₃⁻ 溶液 (pH 值约为 8~11) 中, 后者发生在稀 HCO₃⁻ 溶液 (pH 值一般为 5.5~8.0) 中^[3]。高 pH SCC 通常发生在压缩站下游 20 km 以内, 温度达 70 °C 以上。温度升高使溶液中 NaHCO₃ 结晶, 产生强碱性浓 Na₂CO₃-NaHCO₃ 环境, 促使 pH 值达到 SCC 敏感的范围。这表明, 温度对管线钢在 Na₂CO₃-NaHCO₃ 溶液中的腐蚀行为有显著影响, 选择性溶解机理已经成为高 pH SCC 的共识^[4,5]。然而, 温度对管线钢在高 pH 溶液中腐蚀行

为的研究还不充分。张国良等^[3]研究了温度对X70钢在高pH值溶液中应力腐蚀行为的影响,结果表明,在阳极极化区,温度对X70钢的SCC敏感性影响不大,在阴极极化区,SCC敏感性随温度升高而下降。郭浩等^[6]用慢应变速率法在近中性pH值溶液中研究了温度对X70钢SCC的影响。实验结果表明,在25℃温度以上时,SCC敏感性基本不受影响,而在10℃以下,SCC敏感性略有增加。李党国等^[7]采用光电容和光电流法对X80钢钝化膜的光电化学性能研究发现,随着成膜温度的升高,钝化膜的结构可能发生改变。李金波等^[8]采用电化学阻抗技术研究了X80钢在模拟土壤溶液中的电化学行为,结果表明随着成膜温度的升高,钝化膜的稳态电流增大,膜内施主密度增加,膜电阻、传递电阻及离子在膜内的扩散系数减小。由此可见,温度对管线钢在高pH值溶液中腐蚀行为的影响尚未达成一致。文献^[9,10]表明,温度对钝化膜的影响表现为一方面有利于钝化膜的形成,另一方面也会使基体的阳极溶解增强。温度的影响往往与管线钢表面钝化性能密切相关。因此本文选取X70管线钢,采用动电位极化曲线、电化学阻抗谱(EIS)以及Mott-Schottky曲线(M-S)测量方法,研究温度对X70管线钢在高pH值溶液中腐蚀行为的影响。

2 实验方法

实验采用宝钢生产的X70高强度管线钢,其化学成分(质量分数%)为:C 0.045, Si 0.24, Mn 0.48, S 0.01, Cr 0.031, Al 0.01, P 0.017, Ni 0.16, Fe 余量。试样制成10 mm×10 mm×2 mm的工作电极,用环氧树脂将试样密封,留出10 mm×10 mm的工作面积。试件表面采用水磨砂纸从80#依次打磨到1000#,用无水乙醇和丙酮拭除油污,用吹风机吹干待用。

实验所用溶液为0.5 mol/L Na₂CO₃+0.5 mol/L NaHCO₃,溶液用去离子水配制,实验所用化学药品均为分析纯。

采用三电极系统,参比电极为饱和甘汞电极(SCE),辅助电极为铂片电极,工作电极为X70钢。电化学测量采用PAR2273电化学测试系统。文中所有电位相对于SCE而言。采用恒温水浴锅将实验溶液温度控制在25, 50和75℃。

动电位极化曲线测试前将工作电极在-1.3 V下极化3 min,以去除试样表面的氧化膜,扫描电位范围为-0.6~1.0 V,扫描速率为20 mV/min。

EIS和M-S曲线测量前,X70钢在0.2 V恒电位极化1 h,使其表面形成钝化膜。EIS测试频率范围为10⁻²~10⁵ Hz。激励信号为10 mV。M-S曲线测

试频率为1 kHz,激励信号为5 mV,电位扫描区间为-0.20~0.80 V,直流步长为50 mV。

采用Escalab 220i XL对X70钢表面钝化膜成分进行X射线光电子能谱分析(XPS)检测。

3 结果与讨论

3.1 E-t曲线测试

图1是X70钢在不同温度下的E-t曲线,由图1可知,随着温度的升高,管线钢稳定电位依次降低。这表明温度升高会明显提高X70钢的电化学活性,腐蚀倾向增加。

3.2 极化曲线测试

图2是X70钢在不同温度下的极化曲线。由图可以看出,X70钢在不同温度下均能形成稳定的钝化区间,但钝化区间随温度升高而减小,极化曲线右移,表明腐蚀电流增大,同时对极化曲线进行拟合,拟合结果列于表1。由结果可以看出,随着温度的升高,点蚀电位 E_{pit} 降低,维钝电流密度 I_p 增加,表明升高温度会降低钝化膜的稳定性,腐蚀速率增大。

3.3 电化学阻抗测试

为了进一步表征钝化膜保护性能,选取0.2 V成

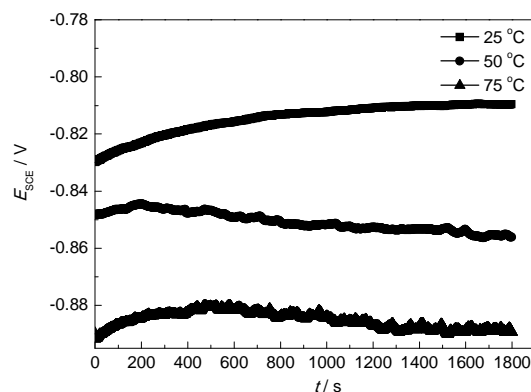


图1 不同温度下X70钢的E-t曲线

Fig.1 E-t curves of X70 steel at different temperatures

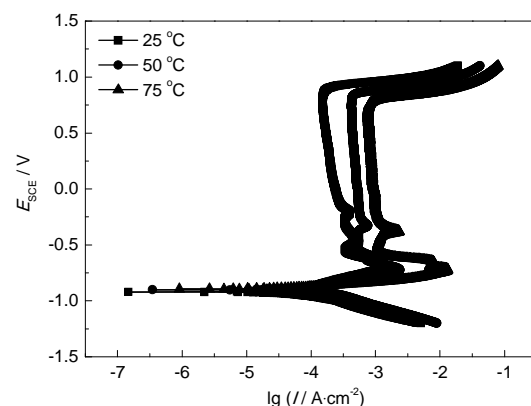


图2 不同温度下X70钢的极化曲线

Fig.2 Polarization curves of X70 steel at different temperatures

膜电位下的钝化膜进行电化学阻抗测试,图 3a 和 b 为 X70 钢的 Nyquist 图和 Bode 图。可以看出,不同温度下的阻抗谱特征没有明显差别,阻抗谱的高频区由容抗弧组成,表明温度升高没有改变其腐蚀机理。同时随着温度的增加,相位角和膜值均逐渐增加,并且均表现为两个时间常数。因此对 X70 钢的 Nyquist 曲线采用等效电路图 (见图 4) 进行数值拟合,结果列于表 2。其中, R_s 代表溶液电阻, R_f 和 Q_f 分别代表钝化膜电阻和钝化膜电容, R_{ct} 和 Q_{dl} 分别代表电荷转移电阻和双电层电容。

从表 2 可以看出,随着温度的升高,电荷转移电阻 R_{ct} 减小,表明电荷在 X70 钢内转移时遇到的阻力减小,同时钝化膜的电阻 R_f 也减小,表明 X70 钢表面钝化膜完整性和致密性下降,钝化膜破裂或发生点蚀的几率增加,耐蚀性降低。

3.4 管线钢钝化膜成分

不同温度下 X70 钢表面钝化膜的 XPS 检测结果
表 1 不同温度下动电位极化曲线的拟合结果

Table 1 Fitting results of the potentiodynamic polarization curves at different temperatures

$T / ^\circ\text{C}$	$E_{\text{corr}} / \text{mV}$	$I_p / \mu\text{A}\cdot\text{cm}^{-2}$	$E_{\text{pit}} / \text{mV}$
25	-769.5	6.83	967.56
50	-765.2	8.68	945.32
75	-763.5	11.26	920.15

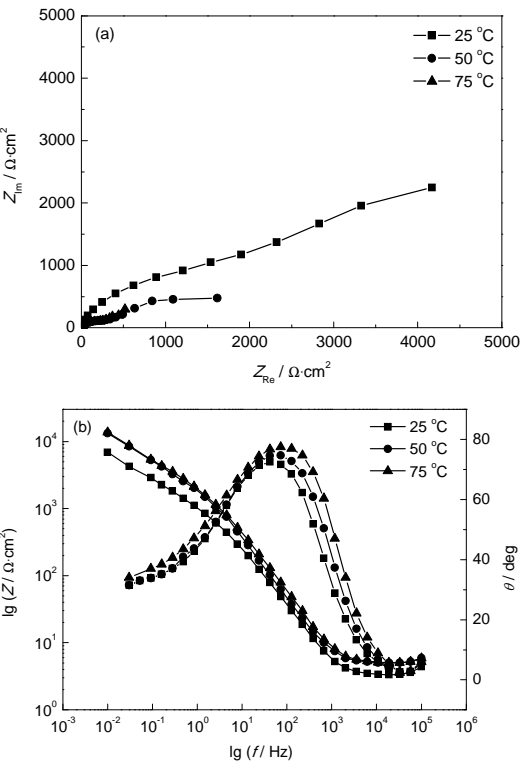


图3 不同温度下 X70 钢的 EIS 曲线

Fig.3 Nyquist (a) and Bode (b) plots of X70 steel at different temperatures

见图 5。3 种温度下钝化膜 XPS 曲线基本重合,这里以 25 °C 为例。这表明温度并没有改变钝化膜的结构。可以看出 X70 钢表面的钝化膜主要均由 Fe_2O_3 和 Fe_3O_4 组成,但是可以推测钝化膜的结构中 Fe 原子和 O 原子同时以不同的形式存在,钝化膜并不均匀,存在一定的缺陷。

3.5 Mott-Schottky 曲线

动电位极化结果已表明,升高温度导致 X70 钢耐蚀性下降,这个结果与钝化膜的半导体性质相关。当带有钝化膜的固体电极与电解质溶液相接处时,在固液界面上会形成半导体的空间电荷双层及介于半导体膜和外 Helmholtz 面之间的 Helmholtz 双层,外 Helmholtz 面即离表面最近的非吸附离子所在的位置^[11]。此时,半导体膜与溶液分别带相反电荷,半导体膜的过剩电荷将分布在空间电荷层内,当空间电荷层耗尽时,空间电荷层的电容 C 与电位 E 的函数关系可用 Mott-Schottky 方程表述^[12],具体为:

当钝化膜为 n 型半导体时, C 与 E 之间呈如下关系:

$$\frac{1}{C_2} = \frac{2}{\epsilon\epsilon_0 e N_D} \left(E - E_{fb} - \frac{KT}{e} \right) \quad (1)$$

式中, ϵ_0 为真空电容率 ($8.85419 \times 10^{-12} \text{ F/m}$), ϵ 为室温

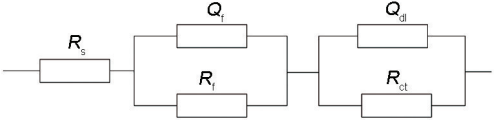


图4 等效模拟电路

Fig.4 Equivalent circuit of Nyquist plots

表 2 Nyquist 曲线的拟合结果

Table 2 Fitting results of Nyquist plots

T $^\circ\text{C}$	R_s $\Omega\cdot\text{cm}^2$	Q_f $\text{F}\cdot\text{cm}^2$	R_f $\Omega\cdot\text{cm}^2$	Q_{dl} $\text{F}\cdot\text{cm}^2$	R_{ct} $\Omega\cdot\text{cm}^2$
25	2.168	1.004×10^{-4}	16.35	4.911×10^{-4}	460.8
50	2.165	1.204×10^{-4}	7.214	6.004×10^{-4}	234.7
75	2.118	7.615×10^{-5}	1.237	7.017×10^{-4}	226.9

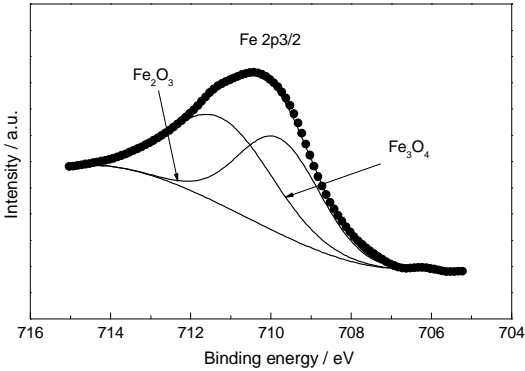


图5 不同温度下 X70 钢表面钝化膜 XPS 曲线

Fig.5 XPS pattern of passive film formed on X70 pipeline steel at different temperatures

下钝化膜的介电常数, 本文取 $15.6^{[13,14]}$, N_D 为施主密度, E_b 为平带电位, E 为电极电位, K 为波尔兹曼常数 (1.38×10^{-23} J/K), T 为绝对温度 (K), e 为电子电量 (1.6×10^{-19} C), 室温下 KT/q 约为 25 mV, 可以忽略不计。 N_D 可根据 Mott-Schottky 图中 $C^{-2} \sim E$ 所成直线斜率求得。

图6为不同温度下X70钢在0.2 V成膜电位下成膜1 h所得钝化膜的 Mott-Schottky 曲线。可以看出, 在 $-0.4 \sim +0.6$ V 时, X70 钢的 Mott-Schottky 直线部分斜率均为正, 表明钝化膜在3个温度下均呈 n 型半导体特性。根据半导体理论^[11], n 型半导体氧化物的缺陷形式为阳离子间隙或阴离子空位。Davenport 等^[15]研究表明, Fe 表面钝化膜的点缺陷为氧空位或铁离子间隙, 由于 Fe 原子半径显著大于 O 原子半径, 膜内 Fe 间隙离子跃迁所需的能量大于氧空位^[16]。Cheng 等^[17]认为碳钢表面钝化膜内为氧空位和 Fe 间隙离子, 氧空位对钝化电流的贡献要显著大于 Fe 间隙离子, 表明 Fe 及铁合金钝化膜内的主要缺陷类型为氧空位。因此, X70 钢钝化膜内缺陷的主要形式为氧空位形成的点缺陷。

平带电位 E_b 是半导体/溶液体系的重要参数, 一般来说, 当平带电位下降, 费米能级升高, 电子容易失去, 更容易形成钝化膜, 材料的耐蚀性能得到提高^[18]。Ningshen 等^[19]研究钢表面氧化膜的性质时

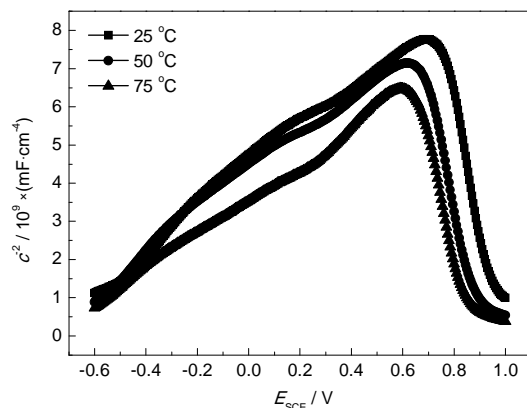


图6 不同温度下X70钢钝化膜的 Mott-Schottky 曲线
Fig.6 Mott-Schottky plots of X70 passive films steel at different temperatures

表3 X70 钢在不同温度下的施主密度与平带电位
Table 3 Calculated values of donor density and flat-band potential of X70 steel at different temperatures

$T / ^\circ\text{C}$	N_D / m^{-3}	Flat-band potential / V
25	4.65×10^{19}	-1.725
50	5.70×10^{19}	-1.649
75	6.65×10^{19}	-1.630

发现, 当平带电位下降时, 点蚀电位随之升高, 耐点蚀性能提高。

根据式 (1) 对不同温度下 X70 钢钝化膜的 Mott-Schottky 曲线进行拟合, 拟合结果列于表 3, 可以看出: 随着温度的升高, 施主密度升高, 平带电位 E_b 上升。因此, 升高温度导致钝化膜的稳定性降低, 更容易发生腐蚀。

3.6 钝化膜破坏模型

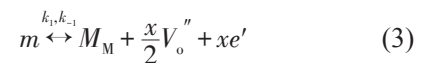
由于钝化膜的厚度与空间电荷层的厚度成正比, 因此, 可用空间电荷层的厚度 L 来表征钝化膜的厚度, 其 L 的计算方法为:

$$L = \frac{\varepsilon \varepsilon_0 A}{C} \quad (2)$$

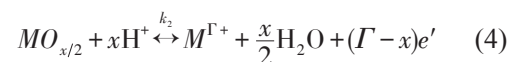
式中, A 为试样表面积 (1 cm^2)。图 7 为根据公式 (2) 计算得出的 X70 钢的成膜温度和钝化膜厚度之间的关系曲线。可以看出: 空间电荷层的厚度随着温度的增大而逐渐减小, 且呈线性关系, 拟合方程为: $y = -0.0016x + 0.308$, 一般来说, 空间电荷层厚度越大, 钝化膜也越厚, 钝化膜发生破裂或点蚀萌生的可能性也越低^[13]。因此, X70 钢在高 pH 值溶液中的耐蚀性随着温度的升高而降低。

不同温度下金属/钝化膜和钝化膜/溶液界面上点缺陷生成反应和消失反应分别为^[20]:

生成反应:



消失反应:



其中, V_o'' 为氧空位, $M^{\Gamma+}$ 为阳离子间隙, $MO_{x/2}$ 为氧化。示意图如图 8 所示。点缺陷 (PDM) 模型^[21]指出存在于钝化膜中的点缺陷一般为阳离子空位、氧空位和阳离子间隙, 其中阳离子空位为电子受体, 表现为 n 型半导体的特征。根据 Mott-Schottky 结果表明, 在 $-0.4 \sim +0.6$ V 范围内, X70 钢在 3 个温度下均表

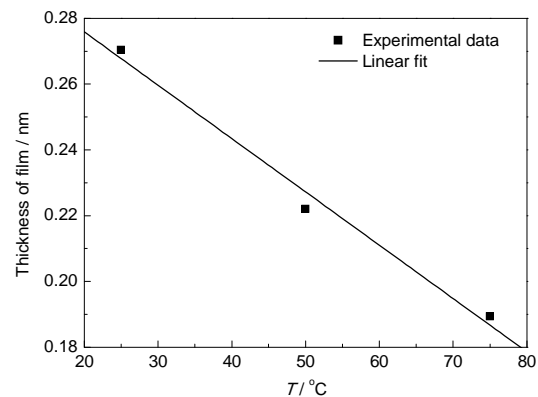


图7 不同温度下X70钢钝化膜的厚度
Fig.7 Thickness of X70 passive film at different temperatures

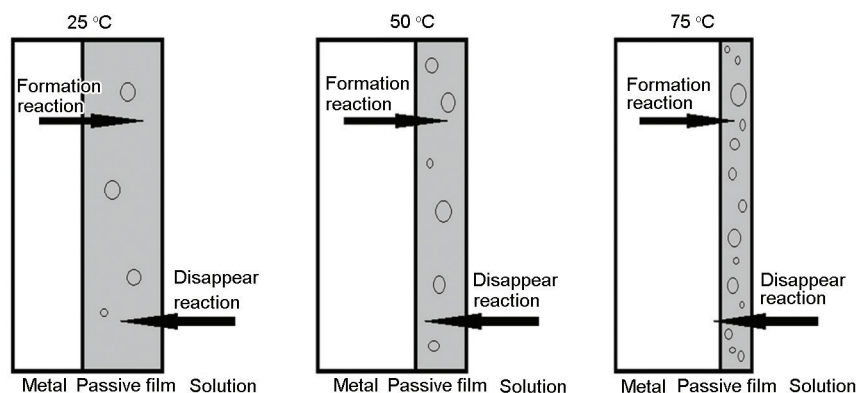


图8 不同温度下金属/钝化膜和钝化膜/溶液界面上点缺陷生成反应和消失反应

Fig.8 Formation and disappearance reaction reactions on the metal/passive film and passive film/solution at different temperatures

现为n型半导体特征,因此存在于钝化膜中的缺陷多为氧空位和阳离子间隙。温度的升高,不仅会使得钝化膜的厚度减小,同时钝化膜的缺陷密度显著增加,钝化膜原有的生长和溶解的动态平衡被打破,钝化膜的生成速度远小于其消失速度,钝化膜被破坏的倾向变大,金属更易发生腐蚀。

4 结论

(1) X70 钢在高 pH 值溶液中, 25 °C~75 °C 内均能形成稳定钝化膜。随温度升高, X70 钢点蚀电位降低, 维钝电流密度下降, 钝化膜极化电阻减小。

(2) 在 -0.4 V~+0.6 V 范围内, X70 钢在高 pH 值溶液中钝化膜的类型为 n 型半导体, 主要成份为 Fe_2O_3 和 Fe_3O_4 , 且在实验温度范围内钝化膜的类型不随温度升高而改变。

(3) 在实验温度范围内, 随着温度的升高, 钝化膜内的缺陷密度增加, 膜厚度减小, 平带电位升高, 钝化膜的稳定性降低, 腐蚀倾向增大。

参考文献

- [1] 张亮, 李晓刚, 杜翠薇等. 温度对 X70 管线钢在碱性溶液中应力腐蚀开裂行为的影响 [J]. 机械工程材料, 2009, 33(6): 10
- [2] 刘杏, 周建江, 李光福等. 溶解氧对 X70 管线钢在高 pH 值溶液中的电化学行为和 SCC 敏感性的影响 [J]. 腐蚀与防护, 2008, 29(6): 305
- [3] 张国良, 李光福, 周建江等. 电极电位和温度对 X70 钢在高 pH 值模拟土壤环境中应力腐蚀破裂的影响 [J]. 腐蚀与防护, 2007, 28(9): 437
- [4] Gonzalez-Rodriguez J G, Casales M, Salinas-Bravo V M, et al. Effect of microstructure on the stress corrosion cracking of X80 pipeline steel in diluted sodium bicarbonate solutions [J]. Corrosion, 2002, 58(7): 584
- [5] Chen W, King F, Vokes E. Characteristics of near-neutral pH stress corrosion cracks in an X-65 pipeline [J]. Corrosion, 2002, 58(3): 267
- [6] 郭浩, 李光福, 蔡琬等. 外加电位对 X70 管线钢在近中性 pH 溶液中的应力腐蚀破裂的影响 [J]. 中国腐蚀与防护学报, 2004, 24(8): 208

- [7] 李建国, 朱杰武, 郑茂盛等. X80 管线钢钝化膜的光电化学性能 [J]. 金属学报, 2008, 44(6): 739
- [8] 李金波, 左剑恶. 温度对 X80 管线钢钝化膜电化学性能的影响 [J]. 中国腐蚀与防护学报, 2009, 29(1): 40
- [9] Fujimoto S, Tsuchiya H. Semiconductor properties and protective role of passive films of iron base alloys [J]. Corros. Sci., 2007, 49(1): 195
- [10] Hakiki N E, Montemor M F, Ferreira M G S, et al. Semiconducting properties of thermally grown oxide films on AISI 304 stainless steel [J]. Corros. Sci., 2000, 42(4): 687
- [11] 赵阳, 梁平, 史艳华等. NaHCO_3 溶液中 X100 和 X80 管线钢钝化膜性能比较 [J]. 中国腐蚀与防护学报, 2013, 33(6): 455
- [12] Sikora J, Sikora E, MacDonald D D. The electronic structure of the passive film on tungsten [J]. Electrochim. Acta, 2000, 45(12): 1875
- [13] Gercasi C A, Folquer M E, Vallejo A E, et al. Electron transfer across anodic films formed on tin in carbonate-bicarbonate buffer solution [J]. Electrochim. Acta, 2005, 50(5): 1113
- [14] Li W S, Luo J L. Uniformity of passive films formed on ferrite and martensite by different inorganic inhibitors [J]. Corros. Sci., 2002, 44(8): 1695
- [15] Davenport A J, Oblonsky L J, Ryan M P, et al. The structure of the passive film that forms on iron in aqueous environments [J]. J. Electrochem. Soc., 2000, 147(6): 2162
- [16] Zhou J L, Li X G, Du C W, et al. Passivation process of X80 pipeline steel in bicarbonate solutions [J]. Int. J. Min., Metall. Mater., 2011, 18(2): 178
- [17] Cheng Y F, Yang C, Luo L. Determination of the diffusivity of point defects in passive films on carbon steel [J]. Thin Solid Films, 2002, 416(1/2): 169
- [18] 赵景茂, 谷丰, 赵旭辉等. 铝阳极氧化膜的半导体特性 [J]. 物理化学学报, 2008, 24(1): 147
- [19] Ningshen S, Mudali U K, Mittal V K, et al. Semiconducting and passive film properties of nitrogen-containing type 316LN stainless steels [J]. Corros. Sci., 2007, 49(2): 481
- [20] Vázquez G, González I. Diffusivity of anion vacancies in WO_3 passive films [J]. Electrochim. Acta, 2007, 52(24): 6771
- [21] Nicic I, Macdonald D D. The passivity of type 316L stainless steel in borate buffer solution [J]. J. Nucl. Mater., 2008, 379(1-3): 54